

Laboratorio di Elettronica 2

Relazione Lezione 1

Federico Fabrizi, Pietro Pennestrì

8 aprile 2018

Indice

1	Sommario	1
2	Curve d’Uscita del BJT BFQ67W/PLP	2
2.1	Primary Sweep V1	2
2.2	Secondary Sweep di V2	5
3	Curve d’Ingresso del BJT BFQ67W/PLP	8
4	Transcaratteristica statica del BJT BFQ67W/PLP a emettitore comune	10
4.1	Sweep di V2	13
4.2	AC Sweep	14
4.3	Transient Analysis	17
5	Apparato Sperimentale	18

1 Sommario

In questo report sono riportate le simulazioni eseguite durante la prima lezione del Laboratorio di Elettronica 2. I circuiti proposti sono stati simulati in laboratorio attraverso PSpice. Le stesse simulazioni vengono qui eseguite

utilizzando software open source. In particolare per la creazione degli schemi è stato utilizzato gEDA¹, mentre le simulazioni dei circuiti sono state eseguite con ngspice².

In qualche caso è stato utilizzato python come front end. Da ultimo è stato realizzato un apparato sperimentale.

2 Curve d'Uscita del BJT BFQ67W/PLP

2.1 Primary Sweep V1

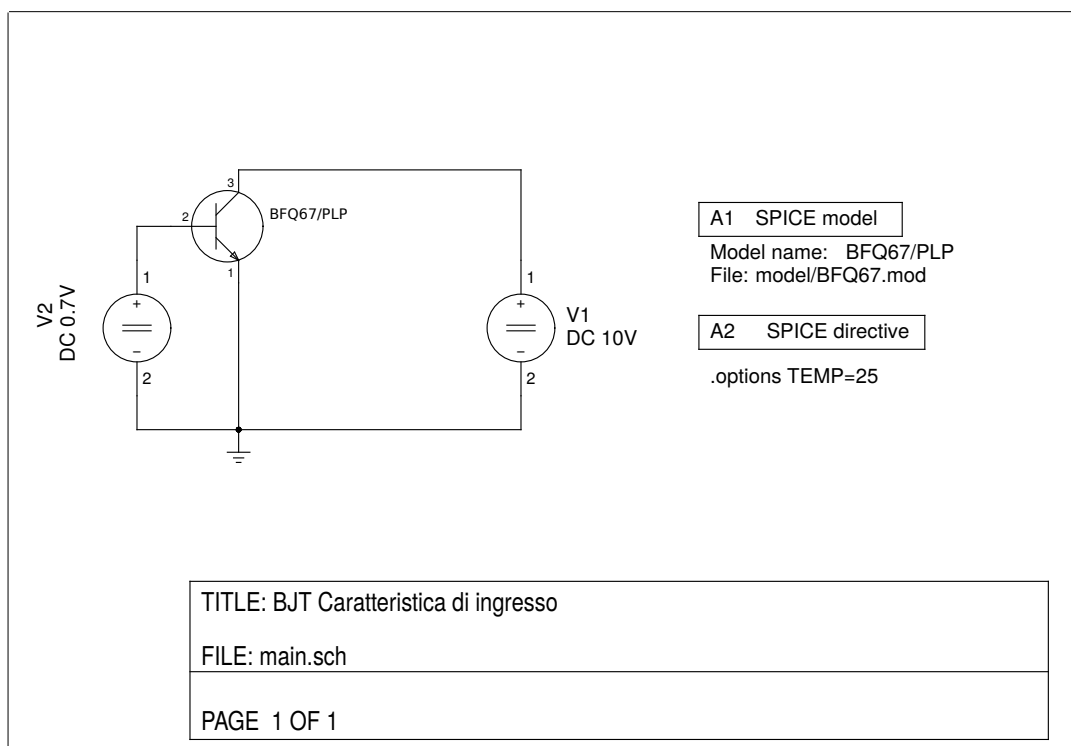


Figura 1: Schema del Circuito Simulato

Di seguito riportiamo la *netlist* ottenuta da terminale con il comando

¹<http://www.geda-project.org/>

²<http://ngspice.sourceforge.net>

```
gnetlist -g spice-sdb -o circ.net main.sch .
```

```
*****  
* Spice file generated by gnetlist *  
* spice-sdb version 4.28.2007 by SDB -- *  
* provides advanced spice netlisting capability. *  
* Documentation at http://www.brorson.com/gEDA/SPICE/ *  
*****  
* BFQ67W SPICE MODEL  
* PHILIPS SEMICONDUCTORS  
* Date : September 1995  
*  
* PACKAGE : SOT323 DIE MODEL : BFQ65  
* 1: COLLECTOR; 2: BASE; 3: EMITTER  
.SUBCKT BFQ67W/PLP 1 2 3  
Q1 6 5 7 7 BFQ65  
* SOT323 parasitic model  
Lb 4 5 .6n  
Le 7 8 .6n  
L1 2 4 .34n  
L2 1 6 .1n  
L3 3 8 .34n  
Ccb 4 6 100f  
Cbe 4 8 2f  
*  
* PHILIPS SEMICONDUCTORS Version: 1.0  
* Filename: BFQ65.PRM Date: Feb 1992  
*  
.MODEL BFQ65 NPN  
+ IS = 5.56440E-016  
+ BF = 1.70000E+002  
+ NF = 9.94874E-001  
+ VAF = 4.80334E+001  
+ IKF = 9.18182E-001  
+ ISE = 1.04797E-014  
+ NE = 1.47947E+000  
+ BR = 1.42108E+002  
+ NR = 9.94125E-001
```

```
+ VAR = 2.55564E+000
+ IKR = 9.63277E+000
+ ISC = 4.38252E-016
+ NC = 1.08948E+000
+ RB = 1.00000E+001
+ IRB = 1.00000E-006
+ RBM = 1.00000E+001
+ RE = 6.55965E-001
+ RC = 2.00000E+000
+ EG = 1.11000E+000
+ XTI = 3.00000E+000
+ CJE = 1.13769E-012
+ VJE = 6.00000E-001
+ MJE = 2.49462E-001
+ TF = 1.19796E-011
+ XTF = 2.59987E+001
+ VTF = 1.22309E+000
+ ITF = 1.97376E-001
+ PTF = 1.00348E+001
+ CJC = 5.15977E-013
+ VJC = 1.55871E-001
.ENDS
```

```
*===== Begin SPICE netlist of main design =====
.options TEMP=25
V2 2 0 DC 0.802V
V1 1 0 DC 10V
x1 1 2 0 BFQ67W/PLP
* DC analysis to sweep v1 from 0 to 10
.dc V1 0.1 10 0.001
.control
run
plot V(1)
plot -i(V1)
print -i(V1)
.endc
```

```
.end
```

Sembra opportuno precisare che è stato utilizzato per la simulazione il transistor BFQ67/PLP. Nella *netlist* sopra riportata, tale transistor viene caratterizzato per la simulazione come un *subcircuit*, ovvero un insieme di dispositivi noti di default al simulatore o precedentemente definiti nella *netlist* medesima. Un *subcircuit* viene identificato nella *netlist* con il prefisso **x**.

Nella *netlist* è stato inoltre incorporato il comando per la simulazione richiesta

```
.dc V1 0.1 10 0.001
```

ovvero una dc sweep di V1 da 0 a 10 V con passo di 0.001V.

2.2 Secondary Sweep di V2

Durante l'esercitazione è stato richiesto oltre ad uno sweep di V1, un secondary sweep di V2. Per gestire in maniera automatica l'esecuzione dello sweep, nonostante **ngspice** ne permettesse la gestione diretta, si è preferito sviluppare un apposito script **python** che ne controllasse l'esecuzione. Tale scelta è giustificata dai seguenti motivi:

- Possibilità di indirizzare l'output dei vari sweep su file diversi, senza eccessive complicazioni della *netlist*;
- migliore resa grafica dei plot grazie alla libreria **matplotlib**;
- volontà di sperimentare **python** quale front end di **ngspice**.

Alleghiamo di seguito il listato dello script di **python**

Script python per la gestione dello sweep secondario

```
import string
import numpy as np
import matplotlib.pyplot as plt
import os

def secondary_sweep(inputfile_name,param,start,stop,step,plot,
    ↪ plot_title,x_label,y_label):
```

```

n=sum(c != '␣' for c in param)
tempfilename=string.split(inputfile_name , '.') [0]+'
    ↪ _temp'+'.net'
init_start=start
#start plot
plt.subplot(223)
plt.title(plot_title)
plt.grid()
while start<stop:
    inputfile = open(inputfile_name,'r')
    tempfile = open(tempfilename,'w')
    for line in inputfile:
        if param==line[:n]:
            linesplit=string.split(line , '␣')
            len_linesplit=len(linesplit)
            linesplit[len_linesplit-1]=str(
                ↪ start)
            joinline=''
            for words in linesplit:
                joinline=joinline+'␣'+words

            tempfile.write(joinline+'\n')
        elif 'run' in line:
            tempfile.write(line)
            tempfile.write('wrdata␣'+str(start
                ↪ )+param+'␣'+plot + '\n')
        else:
            tempfile.write(line)

tempfile.close()
inputfile.close()
#os.system('ngspice -b '+tempfilename+' -o '+
    ↪ str(start)+param+'_res.txt')
os.system('ngspice␣-b␣'+tempfilename)
datafile = open(str(start)+param+'.data','r') #
    ↪ leg file risultati e plotta
x_array=[]

```

```

y_array=[]

for sweep_data in datafile:
    x=string.split(sweep_data ,'_')[0]
    y=string.split(sweep_data ,'_')[1]
    x=float(x)
    y=float(y)
    x_array=np.append(x_array, [[x]])
    y_array=np.append(y_array, [[y]])

plt.plot(x_array, y_array,label=param+':'+str(
    ↪ start)+'V')
datafile.close()
start=start+step
plt.xlabel(x_label)
plt.ylabel(y_label)
plt.legend(bbox_to_anchor=(1.05, 1), loc=2,
    ↪ borderaxespad=0.)
plt.savefig('thegraph.pdf')

#sweep(inputfile_name,param,start,stop,step,plot,plot_title,
    ↪ x_label,y_label)

secondary_sweep('mycir.net','V2',0.7,1,0.05,'-i(V1)',,
    ↪ Caratteristica_di_uscita_BFQ67W/PLP', 'V1[V]',,
    ↪ Corrente_di_collettore[A]')

```

Lo script produce i risultati riassunti nella Figura 2 :

Caratteristica di uscita BFQ67W/PLP

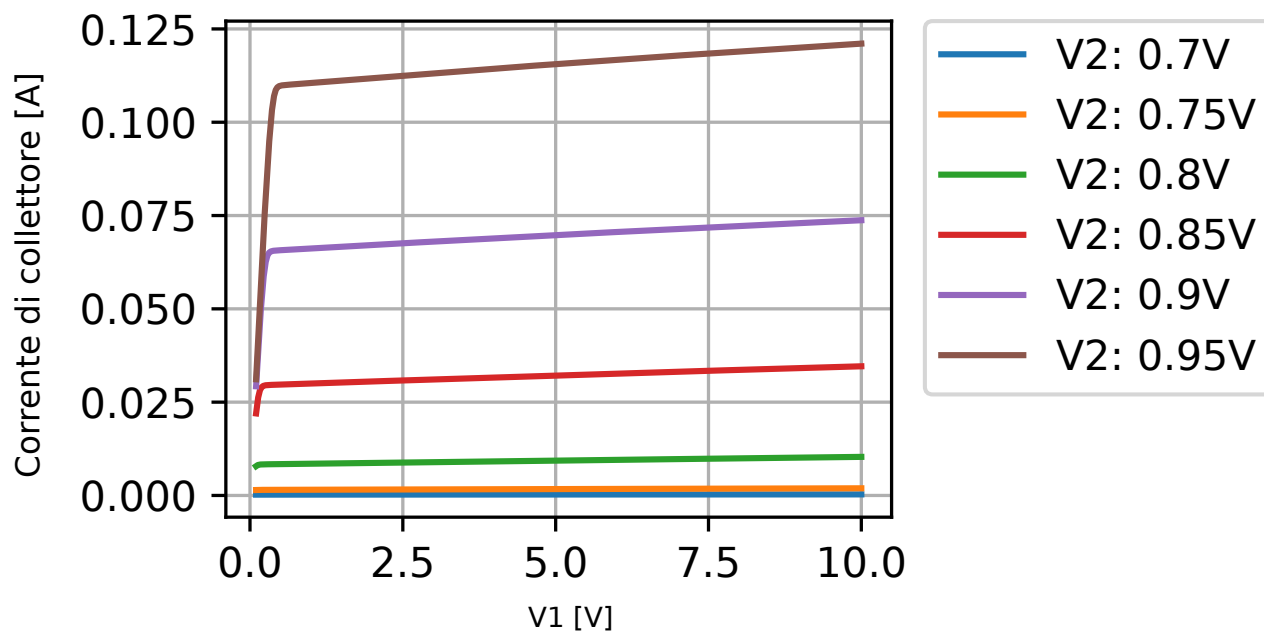


Figura 2: Simulazione del circuito schematizzato in Figura 1

3 Curve d'Ingresso del BJT BFQ67W/PLP

La *netlist* utilizzata per la caratterizzazione della caratteristica d'uscita è stata modificata per ottenere la caratteristica d'ingresso sostituendo il comando di simulazione come segue:

```
.dc V2 0 0.9 0.0001
```

Il risultato ottenuto è riassunto in Figura 3:

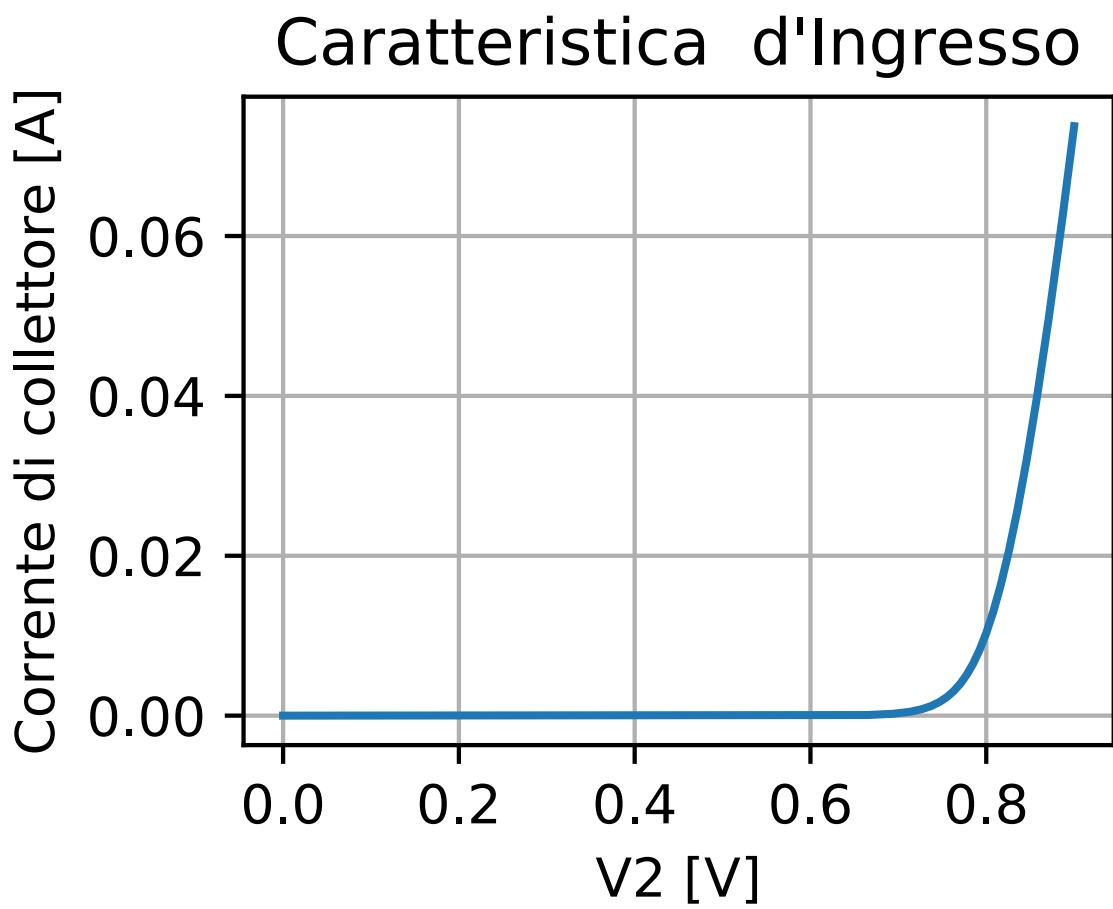


Figura 3: Simulazione caratteristica d'ingresso

4 Transcaratteristica statica del BJT BFQ67W/PLP a emettitore comune

Il circuito preso in considerazione nella seconda parte dell'esercitazione è mostrato in Figura 4.

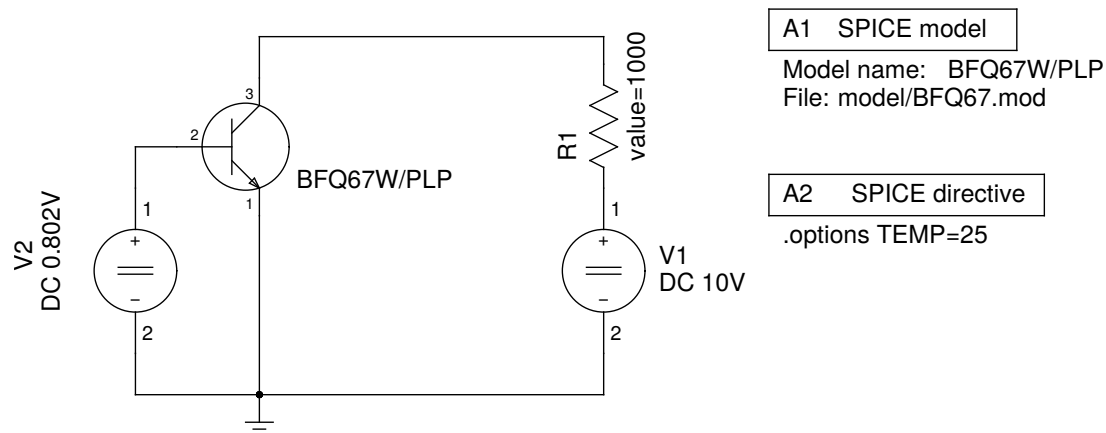


Figura 4: Emittitore Comune

```
* gnetlist -g spice-sdb -o main.net main.sch
*****
* Spice file generated by gnetlist *
* spice-sdb version 4.28.2007 by SDB -- *
* provides advanced spice netlisting capability. *
* Documentation at http://www.brorson.com/gEDA/SPICE/ *
*****
*vvvvvvvvv Included SPICE model from model/BFQ67.mod vvvvvvvvv
* BFQ67W SPICE MODEL
* PHILIPS SEMICONDUCTORS
* Date : September 1995
*
* PACKAGE : SOT323 DIE MODEL : BFQ65
* 1: COLLECTOR; 2: BASE; 3: EMITTER
.SUBCKT BFQ67W/PLP 1 2 3
```

```
Q1 6 5 7 7 BFQ65
* SOT323 parasitic model
Lb 4 5 .6n
Le 7 8 .6n
L1 2 4 .34n
L2 1 6 .1n
L3 3 8 .34n
Ccb 4 6 100f
Cbe 4 8 2f
*
* PHILIPS SEMICONDUCTORS Version: 1.0
* Filename: BFQ65.PRM Date: Feb 1992
*
.MODEL BFQ65 NPN
+ IS = 5.56440E-016
+ BF = 1.70000E+002
+ NF = 9.94874E-001
+ VAF = 4.80334E+001
+ IKF = 9.18182E-001
+ ISE = 1.04797E-014
+ NE = 1.47947E+000
+ BR = 1.42108E+002
+ NR = 9.94125E-001
+ VAR = 2.55564E+000
+ IKR = 9.63277E+000
+ ISC = 4.38252E-016
+ NC = 1.08948E+000
+ RB = 1.00000E+001
+ IRB = 1.00000E-006
+ RBM = 1.00000E+001
+ RE = 6.55965E-001
+ RC = 2.00000E+000
+ EG = 1.11000E+000
+ XTI = 3.00000E+000
+ CJE = 1.13769E-012
+ VJE = 6.00000E-001
+ MJE = 2.49462E-001
+ TF = 1.19796E-011
```

```
+ XTF = 2.59987E+001
+ VTF = 1.22309E+000
+ ITF = 1.97376E-001
+ PTF = 1.00348E+001
+ CJC = 5.15977E-013
+ VJC = 1.55871E-001
.ENDS
*^^^^^^^^ End of included SPICE model from model/BFQ67.mod
  ↳ ^^^^^^^^^
*
*===== Begin SPICE netlist of main design =====
R1 3 1 1000
.options TEMP=25
V2 2 0 DC 0.802V
V1 3 0 DC 10V
x1 1 2 0 BFQ67W/PLP
.end
```

4.1 Sweep di V2

Eseguendo uno sweep del generatore V2:

```
.dc V2 0.1 0.9 0.001
```

otteniamo il grafico di Figura 5

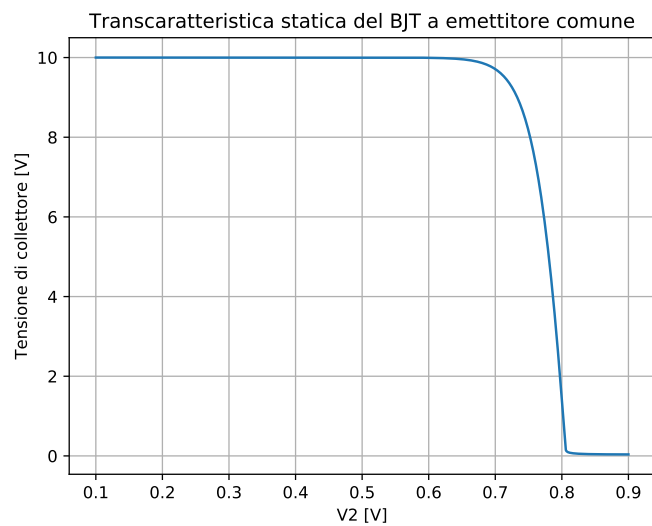


Figura 5: Risultato simulazione

4.2 AC Sweep

Consideriamo il circuito in Figura 6

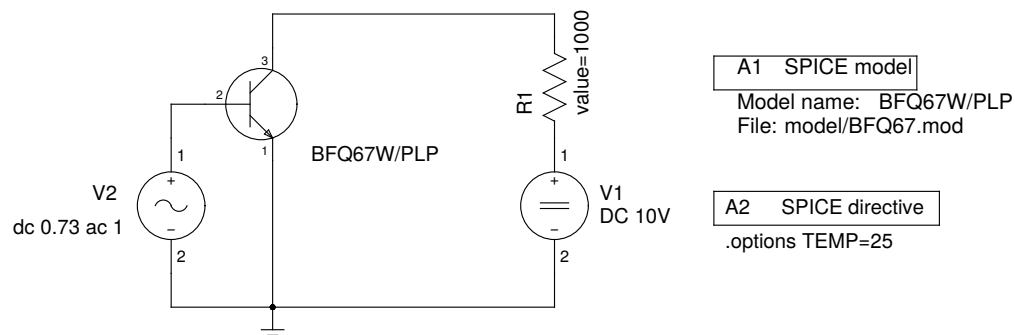


Figura 6: AC Sweep

eseguendo uno sweep in frequenza tramite il comando

```
.ac dec 100 10000 1000000000
```

otteniamo il risultato riportato in Figura 7.

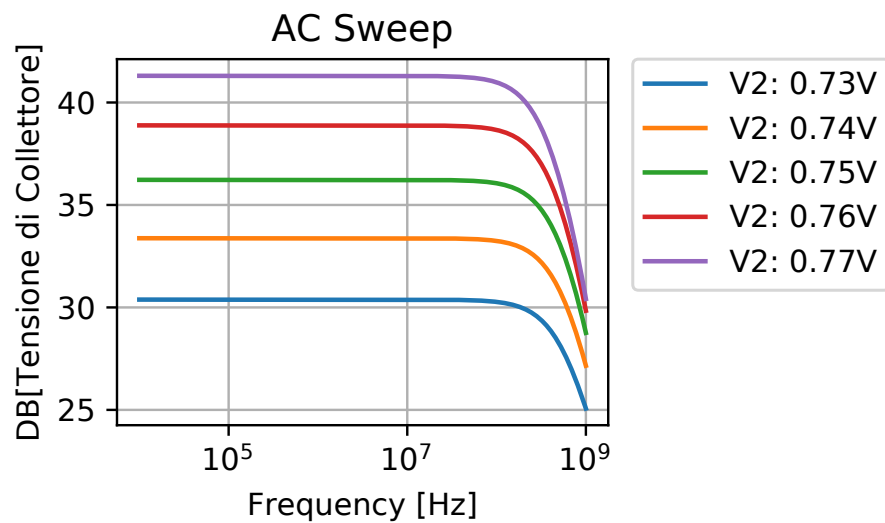


Figura 7: AC Sweep

La gestione del secondary sweep è ottenuta attraverso il seguente script python.

```
import string
import numpy as np
import matplotlib.pyplot as plt
import os

def secondary_sweep(inputfile_name,param,start,stop,step,plot,
    ↪ plot_title,x_label,y_label):
    n=sum(c != '␣' for c in param)
    tempfilename=string.split(inputfile_name , '.')[0]+'
        ↪ _temp'+'.net'
    init_start=start
    #start plot
    ax=plt.subplot(223)
    ax.set_xscale("log", nonposx='clip')
    plt.title(plot_title)
    plt.grid()
    while start<stop:
        inputfile = open(inputfile_name,'r')
        tempfile = open(tempfilename,'w')
        for line in inputfile:
            if param==line[:n]:
                tempfile.write('V2␣2␣0␣dc␣'+str(
                    ↪ start)+'␣ac␣1␣\n')
            elif 'run' in line:
                tempfile.write(line)
                tempfile.write('wrdata␣'+str(start
                    ↪ )+param+'␣'+plot + '\n')
            else:
                tempfile.write(line)

    tempfile.close()
    inputfile.close()
    #os.system('ngspice -b '+tempfilename+' -o '+
        ↪ str(start)+param+'_res.txt')
```

```

os.system('ngspice_b'+tempfilename)
datafile = open(str(start)+param+'.data','r') #
    ↪ leg file risultati e plotta
x_array=[]
y_array=[]

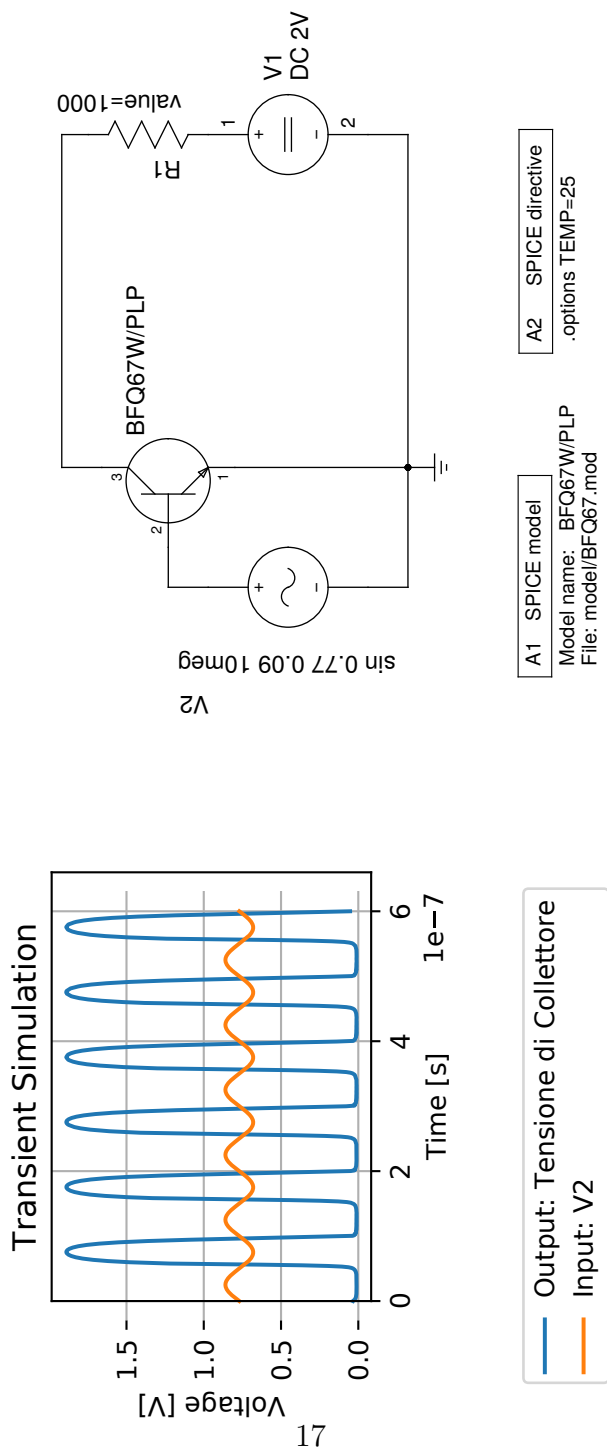
for sweep_data in datafile:
    x=string.split(sweep_data ,'_')[0]
    y=string.split(sweep_data ,'_')[1]
    x=float(x)
    y=float(y)
    x_array=np.append(x_array, [[x]])
    y_array=np.append(y_array, [[y]])

plt.plot(x_array, y_array,label=param+':'+str(
    ↪ start)+'V')
datafile.close()
start=start+step
plt.xlabel(x_label)
plt.ylabel(y_label)
plt.legend(bbox_to_anchor=(1.05, 1), loc=2,
    ↪ borderaxespad=0.)
plt.savefig('thegraph.pdf')

secondary_sweep('main.net', 'V2',0.73,0.78,0.01,'vdb(1)', 'AC_
    ↪ Sweep', 'Frequency[Hz]', 'DB[Tensione_di_Collettore]')

```

4.3 Transient Analysis



5 Apparato Sperimentale

Pur non avendo a disposizione il transistor preso in esame nel report, abbiamo realizzato un apparato sperimentale sulla base dello schema di Figura 4. Il transistor utilizzato è il NPN 2N222, con una resistenza $R=2k$. L'apparato è mostrato in Figura 8.

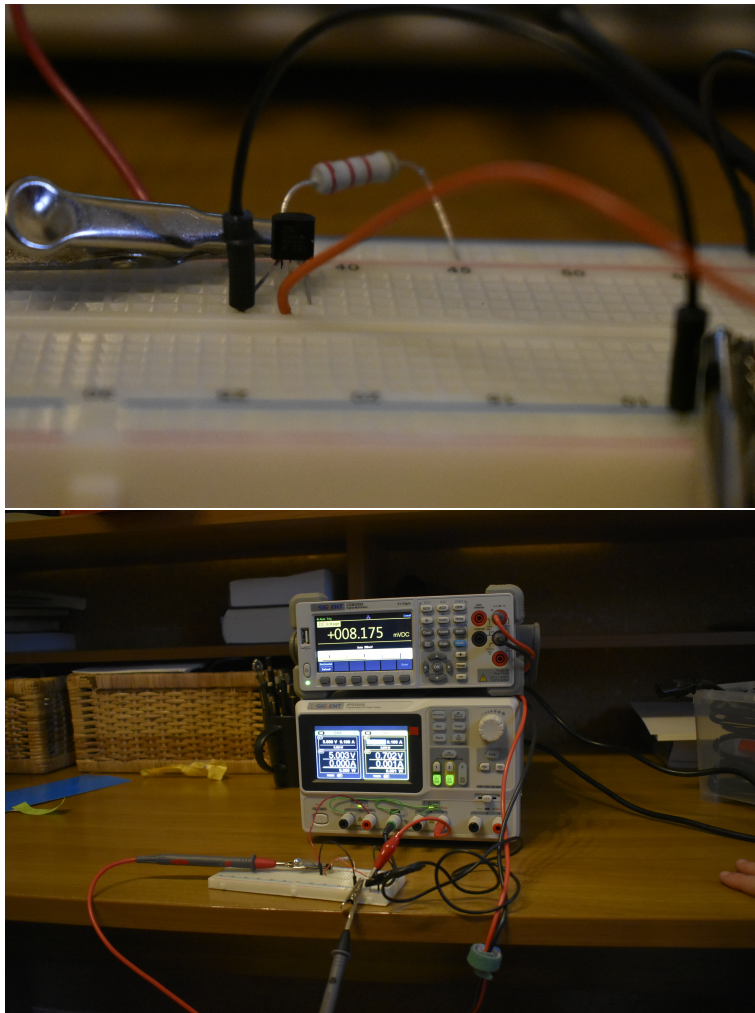


Figura 8: Apparato sperimentale

Le misure realizzate sono visibili nelle seguenti Figure 9

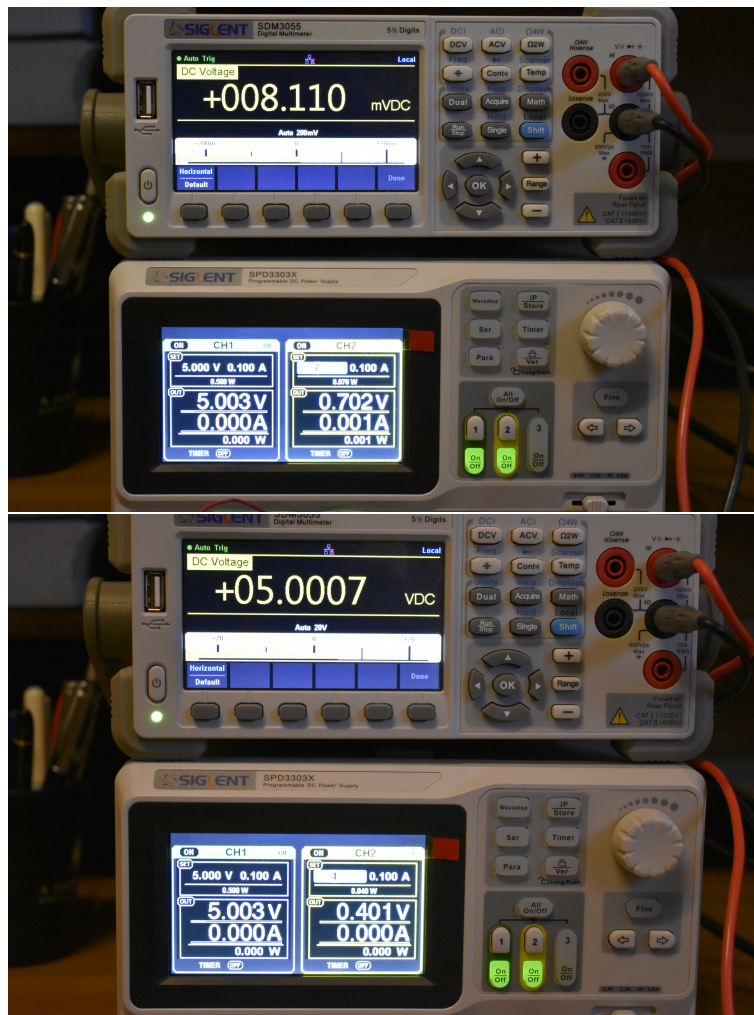


Figura 9: Catena di Misura: Generatore di Tensione e Multimetro

Il comportamento sperimentalmente riprodotto è quello di Figura 5.